

HQ - S



V 1639

1883

Berthelot M.

Ann. chim. Phys., 1883, 29, 201

HgSO<sub>4</sub> △ Hf

RECORDED

W.

F

~~MURKIN~~

BQ-1529-V

1056

1896

HgS;

Varet R.

HgSO<sub>4</sub>

1. Ann. chim. phys. 8, 79-(1896)

HgSO<sub>4</sub>.2H<sub>2</sub>O ~~NaJ~~, kp, ΔHf°

Prominent colour

Circ. 500

W, M

EOTB φ. H.

F

Hg<sub>2</sub>SC<sub>4</sub>

1913

Pollitzer F.

"Z. Electrotechnic"

Cp

1913, 19 N 13,

513-18

B90-52529-5

B9 - 1422 - V

1920.

Hg<sub>2</sub>SO<sub>4</sub>

Cohen E. et al.

(C<sub>P</sub>)

Z. Phys. Chem.

1920, 96, 137-70.



1929

6333

VI 3817

Hg<sub>2</sub>SO<sub>4</sub>, Ag<sub>2</sub>CO<sub>3</sub> ( F<sub>293</sub>, S )

PbSO<sub>4</sub>, Tl<sub>2</sub>CO<sub>3</sub> ( F<sub>293</sub>, II 293, S )

Ishikawa E.

Bull. Inst. Phys. Chem. Research  
1920, 8, 965-72

Hg, Be

[ Hg, Be ( II, III ) ]

Hg<sub>2</sub> S<sub>0</sub><sub>4</sub> BP-5811-7 1932

Ishikawa Fesad

T<sub>o</sub>  
T<sub>298</sub>, 14°, 5°  
T<sub>f</sub>, 298 Thermod. Data

for metallic Sulphates



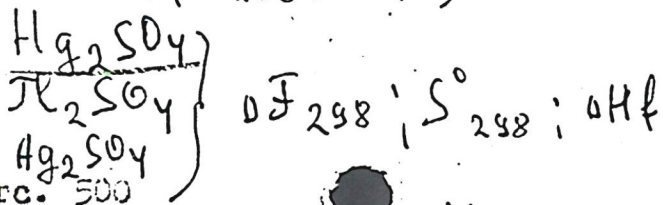
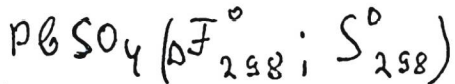
131-37

8935

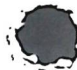
VI 3637

1933

Ishikawa F.

5. Science Repts. Tohoku Imp. Univ.  
I 22, I31 (1933)

Circ. 500



M

V 1644

1933

Ishikawa F., ~~Phanerogam~~.

Sci. Rept. Tohoku Univ. ser 1.

1933, 22, 138-55

CuSO<sub>4</sub>

Hg<sub>2</sub>SO<sub>4</sub> (▲Ff ; ▲Hf)

Ag<sub>2</sub>SO<sub>4</sub>, ~~Ag<sub>2</sub>SO<sub>4</sub>, Ag<sub>2</sub>SO<sub>4</sub>~~

W., Ja.

ЕСТЬ. ф. №

Est.fotok.

1933

V 1783

HgSO<sub>4</sub>•HgI<sub>2</sub> (Tm)

Paic M.

Arhiv. Hem. Farm. 1933, 7, 161-9

The diagrams of state of the systems

HgSO<sub>4</sub>-HgI<sub>2</sub>; HgSO<sub>4</sub>-HgBr<sub>2</sub> and HgSO<sub>4</sub>-HgCl<sub>2</sub>.

Arhiv za hemiju i farmaciju zagub.

Be.

F

CA, 1939, 22539

1933

V 1640

HgSO<sub>4</sub>, aq Cp, S<sup>0</sup>

Schutz

on. D.Thesis, Univ. Calif, 1933.

Энтомологические новинки

Ja.



F

V 1643

1935

Harned, Hamer

J. Am. Chem. Soc, 1935, 57, 27-33-35.

Hg<sub>2</sub>SO<sub>4</sub> ΔHf, ΔFf

Ja.

Est. fotok.

EOTB p. M.

V 1645

1935

( $\Delta F^\circ$ <sub>298</sub>)

Ag<sub>2</sub>SO<sub>4</sub> ( $\Delta F^\circ$ <sub>298</sub>,  $\Delta H$ <sub>298</sub>)      Hg<sub>2</sub>SO<sub>4</sub> ( $\Delta H$ <sub>298</sub>)

Ishikawa F., Hagisawa H.

Bull. Inst. Phys.-Chem. Research (Tokyo)

1935, 14, 1205-9

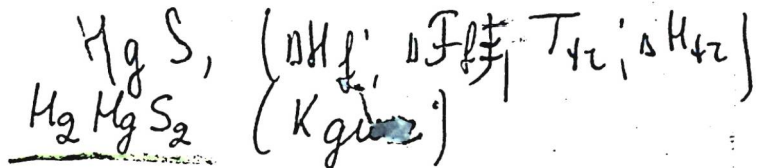
W., Ja

CA, 1936, 20807

F

V1637 1946

Freadwell W. D. and Schaufelberger J.  
J. Helv. Chim. Acta 29, 1936 (1946)



Circ. 500

B, ly

BD V 1646

1950

Hg<sub>2</sub>SO<sub>4</sub> (a. g. c.)

Land J.E., Crockford H.D.

J.Am. Chem. Soc., 1950, 72, 1895-96

The activity coefficients of sultugic acid in aqueous 2-propanol solutions at 25°.

CA, 1950, 44, 7127c

Ja.

Estáfoto ECTB M. N.

V. 1803

1954

Hg(S<sub>2</sub>O<sub>3</sub>)<sub>4</sub><sup>6-</sup> (Кис.)

Гибровича З.Ф.

Ж. общ. химии, 1954, 24, № 3, 423-27

Пиосульфатные комплексы ютути.

PJX., 1954, N23, 49616

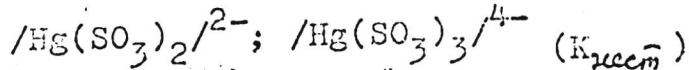
Ja.

ЕСТЬ ФОТО

Est.fotok.

V 1804.

1955



(Кисел)

Пиоринова В.П., Бернз Г.Н.

Ур. зан. Казахск. учи-тка, 1955, 115, №3,  
61-64.

Сульфатные комплексы формулы.

PЖК., 1956, №5, 12651  
Ja.

ЕСТЬ ФОТО  
Est.fotok.

V 1642

1957

Hg<sub>2</sub>SO<sub>4</sub> (IIp)

Brown S.A., Land J.E.

J. Amer. Chem. Soc. 1957, 79, N 12, 3015-16

The activity coefficients and complex of mercury (I) sulfate in sulfuric acid solutions at 25°.

PJX., 1958, 7279.

Ja.

ЕСТЬ Ф. К.

Est.foto k.

1958

George T. Armstrong.

Hg<sub>2</sub>SO<sub>4</sub>

Cp.

11° - 21°K

S.X.M., 1958, No 1B, cap 10

Armstrong

1959

Hg<sub>2</sub>SO<sub>4</sub> BXF, N.Y., U.S.

Gp

11 - 21°K

ВФ -1641-V

1960

12Б414. Теплоемкость и термодинамические функции сульфата ртути между 4 и 20° К. Brackett T. E., Horgnun g E. W., Hopkins T. E. The heat capacity and thermodynamic functions of mercurous sulfate between 4 and 20° K. «J. Amer. Chem. Soc.», 1960, 82, № 16, 4155—4157 (англ.).—Измерена  $c_p$   $\text{Hg}_2\text{SO}_4$  в интервале

$c_p$   
4—20° K. Описаны конструктивные изменения в калориметре, цель которых сделать возможным его применение в данной области т-р, и методика измерений  $c_p$ . Отклонения измеренных  $c_p$  от сглаженной кривой не более 0,1%. В интервале 5—20° К рассчитаны и табулированы  $S^0$ ,  $-(F^0 - H_0^0)/T$ ,  $(H^0 - H_0^0)/T$ . С использованием данных других авторов рассчитана  $S_{298,15}^0$ , равная 47,96 энтр. ед. Сравнены  $\Delta S$  р-ций  $\text{Hg}_2\text{SO}_4 + \text{H}_2 = \text{H}_2\text{SO}_4 + 2\text{Hg}$  и  $\text{Pb} + \text{Hg}_2\text{SO}_4 = \text{PbSO}_4 + 2\text{Hg}$ , вычисленные двумя путями: на основании низкотемпературных измерений и методом э. д. с. Данные по э. д. с., по-видимому, содержат ошибки.

Э. Серегин

$\text{Hg}_2\text{SO}_4$

$c_p$   
4—20° K

1961 · 12

1960

BOP-1641-V

Hg<sub>2</sub>SO<sub>4</sub>  
cp

The heat capacity and thermodynamic functions of mercurous sulfate between 4 and 20°K. T. E. Brackett, E. W. Hornung, and T. E. Hopkins (Univ. of California, Berkeley). *J. Am. Chem. Soc.* 82, 4155-7(1960). The heat capacity of mercurous sulfate was measured from 4 to 20°K. The results, together with available heat-capacity data at higher temps., were used to calc. the entropy at 298.15°K., which is found to be 47.96 gibbs/mole. This value, along with the third law values of other compds., is used to compute the change in entropy of reactions  $\text{Hg}_2\text{SO}_4 + \text{H}_2 \rightarrow \text{H}_2\text{SO}_4 + 2\text{Hg}$  and  $\text{Pb} + \text{Hg}_2\text{SO}_4 \rightarrow \text{PbSO}_4 + 2\text{Hg}$ . The change in entropy computed in this way is then compared with the results of cell measurements on these reactions. The comparisons indicate that the cell measurements are in error.

RCJC

C.A. 1963-59-1.  
47h-78a

Hg<sub>2</sub>SO<sub>4</sub>

Hg<sub>2</sub>SO<sub>4</sub>

from

4-300°K

W. F. Giaugue

1960

581, 1960, v3, cp. 35.

Hg<sub>2</sub>SO<sub>4</sub>

B90-3431-X 1961

Д. Ярошин Н.Н.

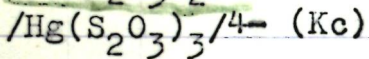
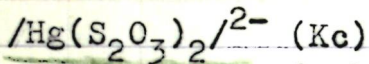
S 298

одежда "НЛ. опиз. хлопок"

1961, № 35 № 1789-93

V 1802

1961



Nyman C.J., Salazar T.

Analyt. Chem. 1961, 33, N 11, 1467-69

Complex ion formation of mercury (II) and thiosulfate ion.

PJX., 1962, 115534

Ja.

F

Est. origin.

Hg<sub>2</sub> SO<sub>4</sub>

1962

W.F. Giangue. n gp.

Cp  
15-300°K

5TT, 1962, w5, cup 64.

1962

Hg<sub>2</sub>SO<sub>4</sub>Bsp - 3412 - VI

17 Б263. Измерение теплоемкости и энтропии сульфата одновалентной ртути в интервале от 15 до 300° К.  
 Papadopoulos M. N. Giacque W. F. The low temperature heat capacity and entropy of mercurous sulfate to 300° K. «J. Phys. Chem.», 1962, 66, № 10, 2049—2050 (англ.)

Теплоемкость Hg<sub>2</sub>SO<sub>4</sub> определена калориметрически в интервале 15—300° К. С использованием данных от теплоемкости, полученных в интервале 4—20° К (РЖХим, 1961, 12Б414), по которым  $S_{15} = 1,311$  энтр. ед., вычислено  $S_{298,15} = 47,963$  энтр. ед.,  $C_{p298,15} = 31,542$  кал/моль град ( $H_{298,15} - H_0$ )/298,15 = 20,897 кал/моль град.

Л. Резницкий

X·1963·17

Hg<sub>2</sub>SO<sub>4</sub>

BOP-3412-VI

1962

The low-temperature heat capacity and entropy of mercurous sulfate to 300°K. M. N. Papadopoulos and W. F. Giauque (Univ. of California, Berkeley). *J. Phys. Chem.* 66, 2049-50(1962). The heat capacity of Hg<sub>2</sub>SO<sub>4</sub> was measured at 15-300°K. and these results were combined with the work of Brackett, *et al.* (*J. Am. Chem. Soc.* 82, 4155(1960)), at 4-20°K. to prep. tables of thermodynamic properties of this substance. The entropy at 298.15°K. was 47.963 gibbs/mole (gibbs = defined cal./defined degree).

CA

Cp

C.A. 1962.57.13  
158954

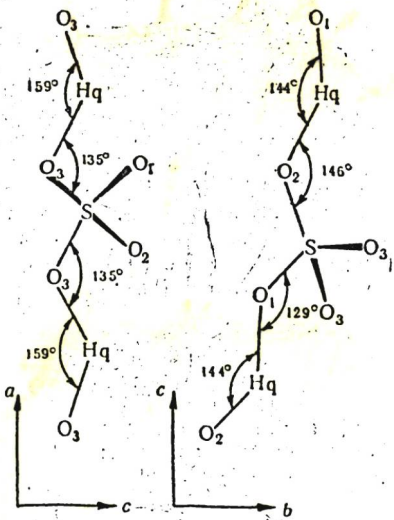
*HgSO<sub>4</sub>*

1963

У16 Б245. Кристаллическая структура безводного сульфата ртути. Вопе са си А. The crystal structure of anhydrous mercuric sulphate. «Croat. chem. acta», 1963, 35, № 3, 195–201 (англ., рез. сербо-хорв.)

Рентгенографически (интегрирующая камера Вейссенберга, ( $\lambda Cu-K\alpha$ ) определена структура безводн.  $HgSO_4$ . Параметры решетки:  $a = 6,58$ ,  $b = 4,78$ ,  $c = 4,82$  Å  $\rho$  (выч.) 6,49,  $Z=2$ , ф. гр.  $PMN2_1$ . Структура решена из анализа интенсивностей 42 рефлексов зоны  $hk0$ ,  $320kl$  и  $26h0l$ , оцененных фотометрически. Среднее значение  $B = 1,5$  Å<sup>2</sup>. Определение пьезоэффекта подтвердило отсутствие центра инверсии. Положение атомов Hg определено из проекций Паттерсона (на 001) и (100). Координаты атомов S и O найдены из проекций электронной плотности  $\rho(xy)$ . Атомы O<sub>(1)</sub> и O<sub>(2)</sub> лежат в плоскости зеркального отражения. Факторы  $R = 0,13$ ,  $0,15$  и  $0,11$  для рефлексов  $hk0$ ,  $0kl$  и  $h0l$  соответственно. Проекция структуры вдоль оси  $c$  показана на рис. Атомы Hg расположены в центрах

Х. 1965. 16



неправильных тетраэдров и связаны между собой через атом О сульфатных групп  $\text{SO}_4$ , образуя зигзагообразные цепи. Одна из цепей лежит в плоскости зеркального отражения, а вторая ей перпендикулярна. Так как координата  $z$  атомов О не определена, расстояния S—O определены ориентировочно и в среднем составляют 1,48—1,49 Å. Кратчайшее расстояние  $\text{Hg—O}_{(1)}$  (2,08 Å) сравнимо с полученным для  $\text{HgCl}_2 \cdot 2\text{HgO}$  (РЖХим., 1956, № 4, 9102) и окиси Hg (РЖХим, 1957, № 11, 36924). Расстояние  $\text{Hg—O}_{(1)}$  (2,28 Å) меньше суммы ионных радиусов (2,45 Å). Координационный многогранник Hg подобен определенному в структуре  $\text{HgCl}_2 \cdot 2\text{H}_2\text{O}$ , где каждый атом Hg в общей позиции окружен 3 атомами O и одним Cl, образующими искаженный тетраэдр. Е. Корытный

Hg 80<sub>4</sub>

Kokkoros P. A., Pentzepelis P.  
1963

Z. Kristallogr., 1963, 119, n3-4,  
234.

Крист.  
струк.

Кристаллическая структура  
на борборитах суперфосфатов  
кальция и магния.



(см. Cd 80<sub>4</sub>)

2.1964.18

5447-V1

1963

$\text{HgS}$ ,  $\text{HgS}_2\text{H}_2$ ,  $\text{HgS}_2\text{H}^-$ ,  $\text{HgS}_2^{2-}$ ,  $\text{HgS}_2^{2-}$ ,  $\text{Hg}(\text{SH})_2$ ,  $\text{HgS}_2\text{H}$   
 $\text{HgS}_2\text{H}_2$  (Kp)

Schwarzenbach G., Widmer M.

Helv. chim. Acta, 1963, 46(7), 2613-28

Solubility of metal sulfides I. Mercuric sulfides.

CA, 1964, 60, N 5, 4870e

W., M.

Борис Фридкин, др.

1964

VI-4168

/HgI<sub>2</sub>S<sub>2</sub>O<sub>3</sub>/<sup>2-</sup> (Кр)

Czakis-Sulikowska D.M.,

Roczn. chem., 1964, 38, N4, 533-43.

Исслед. комплекс.двухвалентной ртути.

I. Комплексы, содержащие йодид. и тиосульфнат-ионы.

RX., 1966, 5B56

Ja,

Est/orig.

$Hg_2SO_3^{2-}$  Czakis - Szelikowska M. | 1966

Roczniki Chem.,

40, N4, 521

Kc

B90-4403-11

(Cll. Hg-Hal) I

VI-4266

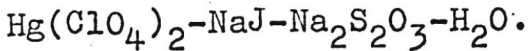
1966

/HgJ<sub>3</sub> (S<sub>2</sub>O<sub>3</sub>)<sup>3-</sup> (Kp)

Czakis-Sulikowsua D.M.

Roczn.chem., 1966, 40, N7-8, 1123-29.

Исслед. смешанных комплексов двухвалентной ртути. III. Спектрофотометрическое исслед. системы



RX.: 1967, 7B62 Ja,

F

Hg-S-KOMPLEKSE BP-VI-4265 1966

Kc

109900g Mixed complexes of mercury(II). VIII. Spectrophotometric investigation in the  $\text{Hg}(\text{ClO}_4)_2\text{-NaI-Na}_2\text{SO}_3\text{-H}_2\text{O}$  system. Danuta M. Czakis-Sulikowska (Politech. Lodz, Poland). *Roczniki Chem.* 40(9), 1393-400(1966)(Pol); cf. CA 66, 61375k. Spectrophotometric analysis and photometric titrn. showed a formation of a  $\text{Hg}(\text{SO}_3)^{2-}$  complex ion in the  $\text{Hg}(\text{ClO}_4)_2\text{-Na}_2\text{SO}_3\text{-H}_2\text{O}$  system. It had a max. absorbance at 233-235 m $\mu$ , in a soln. contg.  $5 \times 10^{-4}M$   $\text{Hg}(\text{ClO}_4)_2$  and 0.005M  $\text{Na}_2\text{SO}_3$ . The absorption max. shift towards longer wavelengths upon increasing  $[\text{Na}_2\text{SO}_3]$  suggested a formation of other complexes as well. In  $\text{Hg}(\text{ClO}_4)_2\text{-NaI-Na}_2\text{SO}_3\text{-H}_2\text{O}$  system, at  $[\text{SO}_3^{2-}]/[\text{I}^-] \leq 1.076$ , the 2 isosbestic points at 280 and 315 m $\mu$  were found and the formation of a mixed complex in a reaction,  $\text{HgI}_4^{2-} + \text{SO}_3^{2-} \rightleftharpoons \text{HgI}_3\text{SO}_3^{\cdot-} + \text{I}^-$ , was detected by the

C.A. 1964-66-24

Watters and Loughran method (*CA* 48, 444*i*). The values of the equil. const. of the reaction, stability const. of the complex ion, and the coordination disproportionation const. of the reaction,  $\text{HgI}_3\text{SO}_3^{--} \rightleftharpoons \frac{3}{4}\text{HgI}_4^{--} + \frac{1}{4}\text{Hg}(\text{SO}_3)_4^{6-}$ , were 2.98,  $5.95 \times 10^{29}$ , and  $7.98 \times 10^{-3}$ , resp.  $\text{HgI}_3\text{SO}_3^{3-}$  is therefore more stable than  $\text{HgI}_2\text{SO}_3^{--}$  (*CA* 65, 4722*d*).

Ewa Bartel-Kornacka

Hg<sub>3</sub>S<sub>2</sub>Cl<sub>2</sub>

1966

17 Б703. Тройные соединения ртути. Сообщение XI.  
Полиморфизм сульфидгалогенидов ртути. Puff Heinrich, Nagrain Arthur, Hoop Klaus-Peter.  
Polymorphie bei Quecksilberschwefel-Halogeniden. «Naturwissenschaften», 1966, 53, № 11, 274 (нем.)

Соединение  $\alpha\text{-Hg}_3\text{S}_2\text{Cl}_2$  (I) получают пропусканием газ. H<sub>2</sub>S через подкисленный р-р HgCl<sub>2</sub> или прокаливанием HgS с HgCl<sub>2</sub> ниже 300°. I кристаллизуется в кубич. сингонии с параметром решетки  $a$  8,937 Å;  $Z=4$ ; ф. гр.  $I2_13$ . Соединение  $\beta\text{-Hg}_2\text{S}_2\text{Cl}_2$  (II) получают нагреванием HgS и HgCl<sub>2</sub> при ~400°. II кристаллизуется в кубич. сингонии с параметром решетки  $a$  17,933 Å;  $Z=32$ ; ф. гр.  $Pm\bar{3}n$  или  $P\bar{4}3n$ . Соединение  $\gamma\text{-Hg}_3\text{S}_2\text{Cl}_2$  (III)

X. 1967. 17

получают быстрым охлаждением паров  $HgS$  и  $HgCl_2$  при  $750^\circ$  или взаимодействием слабощел. р-ра  $HgCl_2$  с  $CS_2$ . Параметры ромбич. решетки ( $Z=8$ )  $a$  9,094;  $b$  16,843;  $c$  9,349 Å; возможные ф. гр. для III  $Cm\bar{m}$ ;  $C2\bar{2}2$ ;  $Cm2\bar{m}$  или  $C\bar{m}22$ . I при  $300 \pm 0,5^\circ$  обратимо переходит в II. III при всех т-рах метастабилен. Соединения  $\alpha$ - и  $\beta$ - $Hg_3S_2Br_2$  (IV) получают нагреванием  $HgS$  и  $HgBr$  при  $200$  или  $\sim 420^\circ$  соотв. IV кристаллизуется в ромбич. сингонии с параметрами решетки: для  $\alpha$ -IV ( $Z=32$ )  $a$  36,89;  $b$  18,08;  $c$  9,28 Å;  $\beta$ -IV ( $Z=8$ )  $a$  18,22;  $b$  9,19;  $c$  9,24 Å. Возможные ф. гр. для  $\alpha$ -IV  $C2ca$  и  $Cmca$ , для  $\beta$ -IV  $Cm\bar{c}m$ ;  $C2cm$ ;  $Cmc2$ . Соединение  $\gamma$ -IV получают при взаимодействии р-ра  $HgBr_2$ , содержащего  $KBr$ , с  $Na_2S_2O_3$  при  $80^\circ$ .  $\gamma$ -IV метастабильная модификация, кристаллизующаяся в тетрагон. сингонии с параметрами решетки ( $Z=8$ )  $a$  13,14;  $c$  8,89 Å; ф. гр.  $P4_{2}2_{1}2$ . Сообщение X см. РЖХим. 1967, 14Б410.

В. Берников

Hg<sub>3</sub>S<sub>2</sub>Cl<sub>2</sub> (cryst)

VI 5354

Aurivillius Karin,

1967

Julkiv Kemi, 1967, 26, N 6, 497-505

In X-ray single crystal study of  
Hg<sub>3</sub>S<sub>2</sub>Cl<sub>2</sub>

DX 1968, 155485

III



UB4

5

Hg<sub>3</sub>S<sub>2</sub>Cl<sub>2</sub> ( $\Delta G_{5450K}$ )

1967

Carlson & H. VI 5303

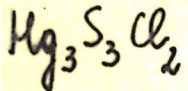
J. Cryst. Growth, 1967, 1(5), 281-7

The growth of HgS and Hg<sub>3</sub>S<sub>2</sub>Cl<sub>2</sub> V  
single crystals by a vapor phase  
method.

M⑨

CA, 1968, 68, 56, 24847m

1968



16 Б550. Подтверждение и уточнение структуры  $\text{Hg}_3\text{S}_3\text{Cl}_2$ . Frueh A. J., Gray Norgman. Confirmation and refinement of the structure of  $\text{Hg}_3\text{S}_2\text{Cl}_2$ . «Acta crystallogr.», 1968, B24, № 1, 156—157 (англ.)

В процессе исследования системы  $\text{HgS}-\text{HCl}$  найдены три полиморфные модификации  $\text{Hg}_3\text{S}_2\text{Cl}_2$ , одна из которых —  $\alpha$ -фаза (I), признана идентичной ранее исследованному методом порошка соединению того же состава (РЖХим, 1963, 11Б245). Параметры кубич. решетки I:  $a = 8,949 \text{ \AA}$ ,  $\rho$  (эксп.) 6,827,  $\rho$  (выч.) 6,895,  $Z=4$ , ф. гр.  $I2_13$ . Координаты атомов ( $\text{Hg}$  в 12 (b);  $x, 0, 1/4$  с  $x 0,3029$ ;  $\text{S}$  в 8 (a);  $x, x, x$  с  $x 0,2709$ ;  $\text{Cl}$  в 8 (a) с  $x 0,0107$ ) уточнены методом наименьших квадратов с учетом изотропных тепловых поправок;  $R=0,08$  для 255 отражений  $hkl$ . Атом  $\text{Hg}$  в структуре I находится в транс-октаэдрич. окружении из двух атомов  $\text{S}$  на расстоянии 2,45  $\text{\AA}$ , двух атомов  $\text{Cl}$  на расстоянии 2,87 и двух атомов  $\text{Cl}$  на расстоянии 3,38. Подобные октаэдры соединяются гранями, так что кратчайшее расстояние  $\text{Hg}-\text{Hg}$  равно 3,546.

С. В. Рыкова

x. 1968. 16

5 Б575. Кристаллическая структура сульфата и селената одновалентной ртути. Dort E b b a. The crystal structure of mercury (I) sulphate and selenate. «Acta chem. scand.», 1969, 23, № 5, 1607—1615 (англ.)

Проведено рентгеноструктурное исследование изотипных  $\text{Hg}_2\text{SO}_4$  (I) и  $\text{Hg}_2\text{SeO}_4$  (II) (метод Вейсенберга,  $\lambda_{\text{Cu}-\Lambda_a}$ , 309 рефлексов для I и 232 — для II). Параметры монокл. решетки: Ia 6,2802, b 4,4273, c 8,363, A,  $\beta$  91,76°; II 6,3507, 4,5870, 8,499, 90,98°, 2, Z=2, ф. гр.  $P2_1/c$ . Обе структуры определены методом тяжелого атома и уточнены МНК в полноматричном изотропном (в II для атома Hg анизотропном) приближении, до  $R=0,078$  I и 0,106 II. Атомы Hg связаны в пары, параллельные оси  $a$ , Hg—Hg 2,50 I и 2,51 II. Каждый атом Hg связан короткой связью 2,24 I и 2,21 II с О ближайшей  $\text{SO}_4^{2-}$ .

X · 1970 · 5



+1

18

и  $\text{SeO}_4^{2-}$ -группой, в результате образуются цепи —  $\text{XO}_4$ —  
 $\text{Hg}—\text{Hg}—\text{XO}_4—\text{Hg}—\text{Hg}$  (где  $\text{X}=\text{S}$  или  $\text{Se}$ ), почти пер-  
пендикулярные оси  $b$ . Угол  $\text{Hg}—\text{Hg}—\text{O}$   $165^\circ$  I и  $160^\circ$  II.  
Кратчайшее расстояние между атомами  $\text{Hg}$  и  $\text{O}$  сосед-  
них цепей  $2,49$  I и  $2,50$  II. Вследствие связи  $\text{O}$  с  $\text{Hg}$  рас-  
стояния  $\text{X}—\text{O}$  в группах  $\text{XO}_4$  неодинаковы:  $1,43$  и  $1,51$   
I,  $1,61$  и  $1,67$  Å II.

В. М. Агре

$Hg_2 SO_4$

VI-4226

1970

16 Б1211. Произведение растворимости  $Hg_2SO_4$  при некоторых температурах. Sharma L., Prasad B. Solubility product of  $Hg_2SO_4$  at a number of temperatures.

«J. Indian Chem. Soc.», 1970, 47, № 2, 193—194 (англ.)

С применением ячейки Pt|хингидрон,  $H_2SO_4|H_2SO_4|$  | $H_2SO_4$ ;  $Hg_2SO_4|Hg$  при т-рах 15; 25 и 35° определено произведение активности  $Hg_2SO_4$ , равное соотв.  $7,42 \cdot 10^{-7}$ ,  $8,08 \cdot 10^{-7}$  и  $8,73 \cdot 10^{-7}$ .

A. C. C.

НР

X. 1970.

16

$Hg_2SO_4$

BP-VI-7226 1940

(39207e) Solubility product of mercurous sulfate at a number of temperatures. Sharma, L.; Prasad, Balbhadrā (Chem. Lab., Patna Univ., Patna, India). *J. Indian Chem. Soc.* 1970, 47(2), 193-4 (Eng). The solv. product of  $Hg_2SO_4$  was

dtd. at 15, 25, and 35° and is  $7.42 \times 10^{-7}$ ,  $8.08 \times 10^{-7}$ , and  $8.73 \times 10^{-8}$ , resp. The heat of soln. of  $Hg_2SO_4$  was dtd. from a plot of the solv. product vs. the reciprocal temp. and is 1300 cal.

CJJN

Shao

C. A. 1940.

73, 8

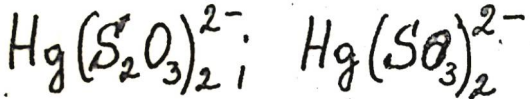
Hg<sub>2</sub>SO<sub>4</sub> BP 4466-IX 1979.

Vanderborgh, N.E., et al.

Δ6f

" Rec. Symp. Elektron, Ion,  
Laser Beam Technol.,  
IIh 1979, 403-12.

(c.c.r. AgNO<sub>3</sub>; T)



1972

(K<sub>p</sub>)

105111  
48760k Complexing during the reaction of mercury(II) oxide with sodium thiosulfate and sodium sulfite. P'yankov, V. A.; Brazovskaya, O. M. (Odess. Politekh. Inst., Odessa, USSR). *Ukr. Khim. Zh. (Russ. Ed.)* 1972, 38(12), 1279-81 (Russ.). HgO when shaken with solns. of Na<sub>2</sub>SO<sub>3</sub> or Na<sub>2</sub>S<sub>2</sub>O<sub>3</sub> forms 1:1 complexes. The equil. consts. for the reaction  $2\text{X}^{2-} + \text{HgO} + \text{H}_2\text{O} \leftrightarrow \text{HgX}_2^{2-} + 2\text{OH}^-$  are  $3.02 \pm 0.35$  and  $2.7 \pm 0.37$  for X = S<sub>2</sub>O<sub>3</sub><sup>2-</sup> and SO<sub>3</sub><sup>2-</sup> resp. John Howe Scott

C.A. 1973.78 N8

$Hg_2SO_4(16)$

1977

Cook J.D.

Kusorebae  
brevirostris  
m. garr. cb. b

CDATA, 1977,  
4, 3pp. Spec. Rep.

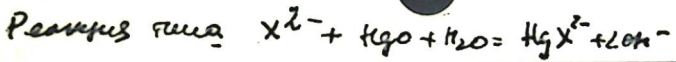
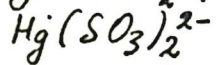
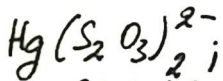
(cav. ♂; I)

Побников В.А., Бразовская О.Н.

Укр. хим. кн., 1972,

38, № 12,

1979-1981



УДК 546.81

*Hg<sub>3</sub>O<sub>2</sub>SO<sub>4</sub>*

*1979*

*Hg<sub>3</sub>S<sub>2</sub>Cl<sub>2</sub>*

*A f*

90: 17559-fig Estimated free energies of formation, water solubilities and stability fields for schuetteite ( $\text{Hg}_3\text{O}_2\text{SO}_4$ ) and corderoite ( $\text{Hg}_3\text{S}_2\text{Cl}_2$ ) at 298 K. Parks, George A.; Nordstrom, Darrell Kirk (Dep. Appl. Earth Sci., Stanford Univ., Stanford Calif.). ACS Symp. Ser. 1979, 93(Chem. Model. Aqueous Syst.: Speciation, Sorption, Solubility, Kinet.), 339-52 (Eng). Std. free energies of formation of schuetteite and corderoite were estd. by 1st estg. their abs. entropies and the heat of formation of corderoite. Independent ests. were derived from solv. data for schuetteite and from vapor-phase synthesis data for corderoite. Stability field diagrams and solv. data were analyzed to evaluate the conditions favorable for the occurrence of these double salts in nature.

*C.A. 1979, 90 N 22*

HgSO<sub>4</sub>

ommica 8773

1979

Richter J., Vreuls W.

Ber. Bunsenges Phys. Chem.  
83, 1023-26, 1979.

$\delta_{298} = 135.8 \text{ g.l.}$   
cessica.

1980

HgSO<sub>4</sub>CdSO<sub>4</sub>Кристал.  
Структ.(+) 

4 Б4ii. Повторное определение кристаллических структур HgSO<sub>4</sub> и CdSO<sub>4</sub>. Aurivillius Kargin, Stalhandske Claes. A reinvestigation of the crystal structures of HgSO<sub>4</sub> and CdSO<sub>4</sub>. «Z. Kristallogr.», 1980, 153, № 1—2, 121—129 (англ.)

С целью уточнения ранее определенных крист. структур предпринято рентгенографич. исследование (дифрактометр, МНК, анизотропное приближение) кристаллов CdSO<sub>4</sub> (I) ( $R=0,013$  для 791 отражения) и HgSO<sub>4</sub> (II) ( $R=0,033$  для 1092 отражения), полученных взаимодействием CdO и металлич. Hg, соотв. с гор. конц. H<sub>2</sub>SO<sub>4</sub> с последующим нагреванием до т-ры 350°. Кристаллы I и II изоструктурны и характеризуются параметрами ромбич. решеток: I  $a = 4,6982$ ,  $b = 4,7191$ ,  $c = 6,5578 \text{ \AA}$ ,  $\rho$  (выч.) 4,76; II  $a = 4,7779$ ,  $b = 4,8119$ ,  $c = 6,5720 \text{ \AA}$ ,  $\rho$  (выч.) 6,52;  $Z=2$ , ф. гр.  $Pn\bar{2}m$ . Атомы Cd и Hg в структурах I и II находятся в сильно искаженном

2. 1981/IV

тетраэдрич. окружении из 4-х атомов О тетраэдров  $\text{SO}_4$  (I Cd—O 2,228—2,291, S—O 1,465—1,481; II Hg—O 2,221—2,420, S—O 1,430—1,500 Å). В обоих случаях координация катионов дополняется до неправильной восьмикратной еще 4-мя атомами О (в I Cd—O 2,576—2,922, в II Hg—O 2,704—2,893). Тетраэдры  $\text{SO}_4$  в структуре I искажены в меньшей степени, чем в структуре II. Обе структуры представляют собой трехмерный каркас из соединенных вершинами тетраэдров  $\text{CdO}_4(\text{HgO}_4)$  и  $\text{SO}_4$ .

С. В. Соболева

Hg-S-D

Симферополь 108-10 1980

12 Б820. Термодинамический анализ системы ртуть—серо—кислород. Сливак М. М., Исаакова Р. А., Челохсаев Л. С., Храпунов В. Е., Хашимов И. К. «КазССР Фылым Акад. хабарлары, Изв. АН КазССР. Сер. хим.», 1980, № 5, 6—11

Методом построения диаграмм парц. давл. проведен термодинамич. анализ системы ртуть—серо—кислород. Выявлены наиболее вероятные р-ции, протекающие при обжиге киновари в интервале т-р 573—1073 К. Показано, что окисление сульфида ртути при т-рах 573—673 К сопровождается образованием металлич. и сульфидной ртути, выше 773 К образуется металлич. ртуть. При постепенном охлаждении парогазовой смеси, выходящей из обжиговых печей, возможно образование нежелательных для технологии сульфида и сульфатов ртути. Для снижения их выхода необходимо резкое охлаждение парогазовой смеси. Осуществление процесса обжига киновари при пониженных давлениях также благоприятно вследствие снижения парц. давл. сернистого ангидрида в системе.

Резюме

20.1981.№12

*HgSO<sub>4</sub>*

*1981*

14 Б790. Термическое разложение сульфата ртути.  
Nakamura Takashi, Noguchi Fumio, Ueda  
Yasuaki. «Нихон киндзоку гаккайси, J. Jap. Inst.  
Metals», 1981, 45, № 11, 1130—1137 (яп.; рез. англ.)

Методами ДТА и ТГА исследовано термич. разл. HgSO<sub>4</sub> (I) и Hg<sub>2</sub>SO<sub>4</sub> (II) на воздухе и в среде Ag и SO<sub>2</sub>. Состав продуктов разл. на различных стадиях устанавливали с помощью ИК-спектроскопии, рентгено-фазового анализа и фотоэлектронной спектроскопии. Установлено, что I разлагается на воздухе и в Ag в 2 стадии по схемам  $3\text{I} = 2\text{HgO}\cdot\text{HgSO}_4 + 2\text{SO}_2 + \text{O}_2$  (1) и  $2\text{HgO}\cdot\text{HgSO}_4 = 3\text{Hg} + \text{SO}_2 + 2\text{O}_2$  (2). В среде SO<sub>2</sub> разл. I протекает по ур-нию ( $m+n$ )  $\text{I} + 4m\text{SO}_2 = m\text{HgS}\cdot n\text{I} + 4m\text{SO}_2 + 2m\text{SO}_2$ . При нагревании II происходит разл. II до Hg и I и затем I разлагается по уравнениям (1—2).

По резюме

*термическое  
разложение*

*(4)*

X. 1982, 19, N/4.

1981

HgSO<sub>4</sub>,

Hg<sub>2</sub>SO<sub>4</sub>

термич.  
разложен.

11 Б881. Термический анализ сульфатов ртути(1+) и (2+). Tagio S. A., Hill J. O. Thermal analysis of mercury(I) sulfate and mercury(II) sulfate. «J. Therm. Anal.», 1981, 21, № 2, 277—281 (англ.; рез. фр., нем., рус.)

С помощью ТГА исследовано термич. разл. сульфатов ртути(1+) и (2+). Установлено, что сульфат ртути(1+) разлагается в две стадии, образуя первоначально смесь металлич. ртути и сульфата ртути(2+), к-рая затем разлагается без образования какого-либо стабильного промежут. продукта. Установлена стехиометрия р-ции диспропорционирования сульфата ртути(1+) и область термич. устойчивости сульфатов ртути(1+) и (2+).

Резюме

X. 1982, 19, NII.

Hg-S-H<sub>2</sub>O

1982

Кириллов В. А., Егорова  
Э. Т.

метеогео.

анализ.

Типометрические изме-

нения  
и спарсивание зерно-

Кириллов В. А., 1982,



78-119

(Cu-Zn-S-H<sub>2</sub>O; ?)

Наг 8

Наг Зе

Наг Тe

ОМ 25.461, 24779 1986

Асадов М. М.

Теплота плавления халькогенидов ртути  
//Азерб. хим. журн. — 1986. — № 2. — С. 101—  
103.

Рез.: азерб.

Библиогр.: 10 назв.

— — 1. Ртуть, халькогениды — Температура плавления.

№ 123320

14 № 8605

ВКП 10.11.86

Изд-во «Книга»

УДК 586.652

ЕСКЛ 18.5

$\text{Ag}_2\text{SO}_4$  (OM. 29720) 1988

Rondinini S., Cava-  
dore A., et al.,

$\delta_c$ ; J. Chem. Thermodyn.,  
1988, 20, N6, 711-720

Сульфогалогениды Hg

1989

5 Б3069. Диаграммы состояния систем  $HgS-HgCl_2(Br_2, I_2)$  / Панько В. В., Худолий В. А., Воронцов Ю. В., Шелемба М. С. // Ж. неорган. химии.—1989.—34, № 12.—С. 3208—3210.—Рус.

Методами ДТА и РФА исследован характер хим. взаимодействия в системах  $HgS-HgCl_2$ ,  $HgS-HgBr_2$ ,  $HgS-HgI_2$  и определены св-ва образующихся в них сульфогалогенидов ртути. Резюме

Х. 1990, N5

$(\text{HgS})_{12}$  Landler M. E.,  
Behrman E. C. et al.  
1996

mcsp.  
paerzii THEOCHEM 1996,  
Cecropiae, 362(2), 215-24.  
Li, cecropiae.

(cui.  $(\text{ZnO})_n$ ;  $\text{III}$ )

1996

HgS Sd 12

16 Б372. Фазовые равновесия в системе HgS—HgTe—HgCl<sub>2</sub> и кристаллическая структура соединений  $\beta\text{-Hg}_3\text{S}_2\text{Cl}_2$  и  $\text{Hg}_3\text{TeCl}_4$  / Ворошилов Ю. В., Худолин В. А., Панько В. В. // Ж. неорг. химии. — 1996. — 41, № 2. — С. 287—293. — Рус.

Методами ДТА и РФА изучены диаграммы состояния систем Hg<sub>3</sub>S<sub>2</sub>Cl<sub>2</sub>—Hg<sub>3</sub>Te<sub>2</sub>Cl<sub>2</sub>, Hg<sub>3</sub>S<sub>2</sub>Cl<sub>2</sub>—Hg<sub>3</sub>TeCl<sub>4</sub> и построено изотермическое сечение системы HgS—HgTe—HgCl<sub>2</sub>. Выполнена полная расшифровка кристаллической структуры соединений  $\beta\text{-Hg}_3\text{S}_2\text{Cl}_2$  (I) и  $\text{Hg}_3\text{TeCl}_4$  (II). Структура I кубическая (Pm3n), а 17,925(7) Å, Z=32. Основной фрагмент структуры — зонтики [SHg<sub>3</sub>], сочлененные в кубоэтаэдры [ClHg<sub>12</sub>S<sub>8</sub>], координирующие атомы хлора. Атомы ртути занимают четыре системы эквивалентных позиций, атомы серы — две и атомы хлора — семь. R-фактор 3,50%. Структура II ромбическая (Pbca), слоистая, а 11,522(4), b 12,140(4), c 12,683(2) Å, Z=8. Аналогично I отдельные зонтики [TeHg<sub>3</sub>] размещаются таким образом, что соседние слои связываются между собой

СЛУЧКИЧА

(4)

X, 1996, N 16

третими связями Te—Hg, тогда как первые две размещаются в одном слое. Все атомы в структуре II размещаются в семи системах эквивалентных позиций 8c. R-фактор 3,87%.



*Hg<sub>3</sub>S<sub>2</sub>Cl<sub>2</sub>*

1996

Д 3Б222. Структура и характеристики кордероитов.

Структура і властивості кордероїтів / Ворошилов Ю. В., Худолій В. О., Панько В. В., Мінєць Ю. В. // 14 Укр. конф. з неорган. хімії, Київ, 10—12 вересня, 1996: Тези доповідей. — Київ, 1996. — С. 130. — Укр.

Соединения систем HgX—HgГ<sub>2</sub>, родственные кордероиту α-HgS<sub>2</sub>Cl<sub>2</sub>, обладают набором характеристик важных для электронной техники. Расшифрованы структуры следующих соединений: α—β—γ-Hg<sub>3</sub>S<sub>2</sub>Cl<sub>2</sub> (I; ф. гр. α—I: I 2,3, а 8,905 Å, Z 4, T<sub>пн</sub> 628К; β—I: Pm3n, а 17,925, Z 32, T<sub>пн</sub> 821К; γ—I: Pbmm, 99,349, б 16,843, с 9,094, Z 8; α-Hg<sub>3</sub>S<sub>2</sub>Br<sub>2</sub> (моноокристалл, ф. гр. B2/m, а 17,996, б 10,289, с 9,281 Å, γ 116,14, Z 8, T<sub>пн</sub> 633; β-Hg<sub>3</sub>S<sub>2</sub>Br<sub>2</sub>: ф. гр. B2/m, а 17,273, б 9,473, с 9,374 Å, γ 89,78°, Z 8, T<sub>пн</sub> 805К; Hg<sub>3</sub>Se<sub>2</sub>Cl<sub>2</sub>, ф. гр. I 2,3, а 9,06, Z 4, T<sub>пн</sub> 873К; Hg<sub>3</sub>Se<sub>2</sub>Br<sub>2</sub>: ф. гр. B2/m, а 17,529, б 9,775, с 9,408 Å, γ 89,51, Z 8, T<sub>пн</sub> 833К; Hg<sub>3</sub>Te<sub>2</sub>Cl<sub>2</sub>, ф. гр. 12,3, а 9,326, Z 4, T<sub>пн</sub> 903К; Hg<sub>3</sub>Te<sub>2</sub>Br<sub>2</sub>, ф. гр. 12,3, а 9,53, Z 4, T<sub>пн</sub> 853К; Hg<sub>3</sub>TeCl<sub>4</sub>, ф. гр. Pbca а 11,522, б 12,140, с 12,683, Z 8, T<sub>пн</sub> 585; Hg<sub>3</sub>TeBr<sub>4</sub>, ф. гр. Pbca а 12,360, б 12,523, с 12,868 Z 8, T<sub>пн</sub> 556.

*Структура*

X. 1997, № 3

F: Hg(SH)2(OH)-1

2001

P: 1

134:257098 Calculation of the Structures, Stabilities, and Properties of Mercury Sulfide Species in Aqueous Solution.  
Tossell, J. A.: Department of Chemistry and Biochemistry, University of Maryland, College Park, MD, USA. J. Phys. Chem. A (2001), 105(5), 935-941. in English.

Quantum-mech. methods are used to det. the structures, stabilities, and properties of a no. of different mercury(II) sulfide, bisulfide, and hydroxide species in aq. soln. Relativistic effective core potential bases and methods ranging in rigor from Hartree-Fock to quadratic CI with single and double substitutions are used for the gas-phase calcns. while explicit solvation with small nos. of water mols., SCRF, and IPCM methods are used to describe hydration. We find that the species with mol. compn. HgS is unstable in water soln. and that it probably exists as Hg(SH)(OH), hydrated strongly by four waters. Its isomer HgS(H<sub>2</sub>O) is unstable, spontaneously rearranging to

$\text{Hg(SII)(OH)}$ . By comparing the dissoci. energetics of  $\text{Hg(SII)(OH)}$  with that of other compds. contg. a -SII group, we have detd. that  $\text{Hg(SH)(OH)}$  has a  $pK_a$  of 7 or larger, so that it is not significantly deprotonated near neutral pH. The  $\text{HgS}$  and  $\text{HgS}(\text{H}_2\text{O})$  species are also unstable to photolysis by sunlight since their lowest energy allowed spectral transitions occur in the visible or near UV. By contrast,  $\text{Hg(SH)(OH)}$  does not photolyze in sunlight. When the  $\text{SH}^-$  concn. is increased,  $\text{Hg(SII)(OH)}$  becomes unstable with respect to  $\text{Hg(SII)}_2(\text{OH})\text{-I}$ . Therefore, the species which is obsd. to partition into org. solvents under conditions of low  $\text{SH}^-$  concn. is actually  $\text{Hg(SH)(OH)}$  and the species produced at higher  $\text{SH}^-$  concns., which does not partition into org. solvents, is  $\text{Hg(SH)}_2(\text{OH})\text{-I}$ .

2001

F: Hg(SH)(OH)-

P: 1

134:257098 Calculation of the Structures, Stabilities, and Properties of Mercury Sulfide Species in Aqueous Solution.

Tossell, J. A. Department of Chemistry and Biochemistry, University of Maryland, College Park, MD, USA. J. Phys. Chem. A (2001), 105(5), 935-941. English.

Quantum mech. methods are used to det. the structures, stabilities, and properties of a no. of different mercury(II) sulfide, bisulfide, and hydroxide species in aq. soln. Relativistic effective core potential bases and methods ranging in rigor from Hartree-Fock to quadratic CI with single and double substitutions are used for the gas-phase calcns. while explicit solvation with small nos. of water mols., SCRF, and IPCM methods are used to describe hydration. We find that the species with mol. compn. HgS is unstable in water soln. and that it probably exists as Hg(SH)(OH)<sub>2</sub>, hydrated strongly by four waters. Its

isomer  $\text{HgS}(\text{H}_2\text{O})$  is unstable, spontaneously rearranging to  $\text{Hg}(\text{SII})(\text{OII})$ . By comparing the dissocn. energetics of  $\text{Hg}(\text{SII})(\text{OII})$  with that of other compds. contg. a -SII group, we have detd. that  $\text{Hg}(\text{SH})(\text{OH})$  has a  $pK_a$  of 7 or larger, so that it is not significantly deprotonated near neutral pH. The  $\text{HgS}$  and  $\text{HgS}(\text{H}_2\text{O})$  species are also unstable to photolysis by sunlight since their lowest energy allowed spectral transitions occur in the visible or near UV. By contrast,  $\text{Hg}(\text{SH})(\text{OH})$  does not photolyze in sunlight. When the  $\text{SH}^-$  concn. is increased,  $\text{Hg}(\text{SII})(\text{OII})$  becomes unstable with respect to  $\text{Hg}(\text{SII})_2(\text{OII})-\text{l}$ . Therefore, the species which is obsd. to partition into org. solvents under conditions of low  $\text{SH}^-$  concn. is actually  $\text{Hg}(\text{SH})(\text{OH})$  and the species produced at higher  $\text{SH}^-$  concns., which does not partition into org. solvents, is  $\text{Hg}(\text{SH})_2(\text{OH})-\text{l}$ .